

# 液相基体辅助激光解吸/电离 质谱法测定紫杉烷类化合物<sup>\*</sup>

黎军 邵伟艳 邓慧敏 赖志辉 赵善楷<sup>\*\*</sup>

(中山大学测试中心 广州 510275)

[摘要]本文以邻-硝基苯辛醚(NPOE)为液相基体,纤维纸为基底,用基体辅助激光解吸/电离飞行时间质谱法(MALDI-TOF-MS)测定紫杉烷类化合物,研究其激光裂解规律。

关键词:基体辅助激光解吸电离质谱法 邻-硝基苯辛醚 紫杉烷 裂解

紫杉烷类化合物是目前具有很好疗效的抗癌药物,已引起人们的普遍重视。对有关这类化合物的抗肿瘤机理,对不同生物体的作用,衍生物的制备,结构改造及全合成等方面人们进行了广泛的研究。对于紫杉烷类化合物的定性分析,有快原子轰击质谱法(FAB)和基体辅助激光解吸/电离质谱法(MALDI-MS)等。FAB 法对化合物纯度要求高,且分子离子峰丰度小,不易判断;而 MALDI-MS 法能对粗产品及混合物进行分析。Mary E. Cimon 和 Gary R. Kinsel 用对-硝基苯胺为固相基体对紫杉烷类化合物进行了分析<sup>[1]</sup>,用液相基体对紫杉烷类化合物分析至今未见报导。

## 1 实验方法

### 1.1 仪器及试剂

紫外仪为岛津 UV240;质谱仪为自行研制的激光微探针飞行时间质谱仪<sup>[2]</sup>,激光波长为 355nm,采用线性检测方式,加速电压力±9kV。邻-硝基苯辛醚为 Aldrich 公司产品,其余试剂为国产 AR 级。

### 1.2 紫杉烷来源及试样制备

紫杉烷类化合物提取:将干燥的云南产红豆杉树皮,在室温下用甲醇浸取,浸取液浓缩成悬浊液,用石油醚萃取以除去树脂类化合物,然后再用二氯甲烷萃取,萃取液蒸干后得到固体粗提物。粗提物用适量的二氯甲烷溶解,以硅胶 H 拌样,硅胶 H 装柱,进行快速减压柱层析,以石油醚和乙酸乙酯混合液进行梯度洗脱,使用薄层色谱法(TLC)跟踪,采用 I<sub>2</sub> 蒸汽及紫外灯(254nm)显色。所得各馏分用乙酸乙酯和石油醚或二氯甲烷和甲醇混合液重结晶,得到各个紫杉烷类化合物。本实验测定的四个紫杉烷类化合物结构经核磁

1998-08-09 收

\* 国家自然科学基金资助项目(29170244)

\*\* 通讯联系人

共振、质谱、红外光谱、紫外光谱和元素分析等证明如图1所示。

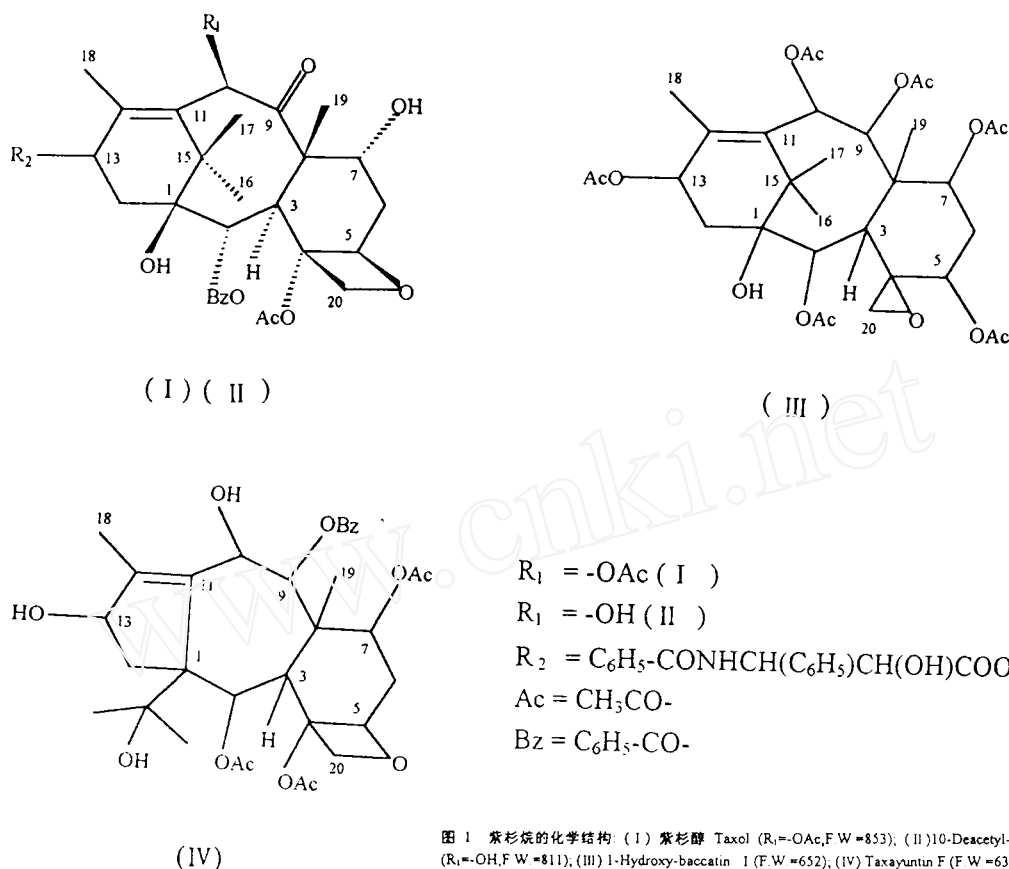


图1 紫杉烷的化学结构: (I) 紫杉醇 Taxol ( $R_1=-OAc$ , F.W.=853); (II) 10-Desacetyl-taxol ( $R_1=-OH$ , F.W.=811); (III) 1-Hydroxy-baccatin I (F.W.=652); (IV) Taxayunin F (F.W.=630)

试样制备: 把紫杉烷类化合物Ⅰ、Ⅱ、Ⅲ、Ⅳ配成  $1.0 \times 10^{-3}$  mol/L 甲醇溶液, Ⅱ另配一个  $1.0 \times 10^{-2}$  mol/L 甲醇溶液, 以纤维纸为基底, 取试样  $5\mu L$ , 基体液  $5\mu L$  混合均匀, 再取混合液  $5\mu L$ , 滴到纤维纸上, 纤维纸通过双面胶贴到样品台上, 然后进行质谱测定。

## 2 结果与讨论

### 2.1 基体邻-硝基苯辛醚的紫外吸收特性及基底的选择

邻-硝基苯辛醚在室温下是无色油状液体, 沸点  $197\text{--}198^\circ\text{C}/11\text{ mmHg}$ , 分子量 251.33。本实验以甲醇为参比液, 测定邻-硝基苯辛醚(NPOE)  $8.0 \times 10^{-5}$  mol/L 甲醇溶液的紫外吸收特性, 发现NPOE有三个紫外吸收峰:  $\lambda_{max} = 215\text{ nm}$  ( $\epsilon = 34,000$ )、 $258\text{ nm}$  ( $\epsilon = 10,000$ ) 和  $324\text{ nm}$  ( $\epsilon = 7,800$ )。实验所使用激光波长为  $355\text{ nm}$ , 于此波长处 NPOE 的  $\epsilon = 4600$ 。可见, NPOE 在  $355\text{ nm}$  处仍有较强的紫外吸收, 满足作为基体的必要条件。

由于表面张力的缘故, 基体邻-硝基苯辛醚在银片等金属表面凝成细珠, 故不能用银片等金属做基底; 硝化纤维膜能溶解于甲醇, 也不能用作基底。本实验选用纤维纸做基底, 效果很好。Shankai Zhao 等曾报导了纤维纸作基底的优点<sup>[3]</sup>。

### 2.2 基体浓度的选择

以紫杉醇(Taxol, F.W.=831)的  $1.0 \times 10^{-3}$  mol/L 甲醇溶液为试样, 试验不同浓度

的基体邻-硝基苯辛醚甲醇溶液的质谱行为,发现当邻-硝基苯辛醚的浓度为 $0.1\text{ mol/L}$ 时,紫杉醇分子离子易出峰。故以下实验选用的基体邻-硝基苯辛醚甲醇溶液浓度都为 $0.1\text{ mol/L}$ 。

### 2.3 紫杉烷类化合物的直接测定

图2和图3分别为化合物I(Taxol, F. W. = 853)和化合物II(10-Deacetyl-taxol, F. W. = 811)的激光质谱图。

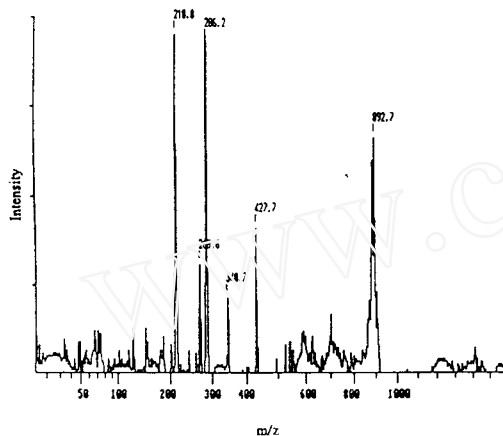


图2 紫杉醇 Taxol (F. W. = 853) 的激光质谱图 ( $1.0 \times 10^{-3}\text{ mol/L}$ )

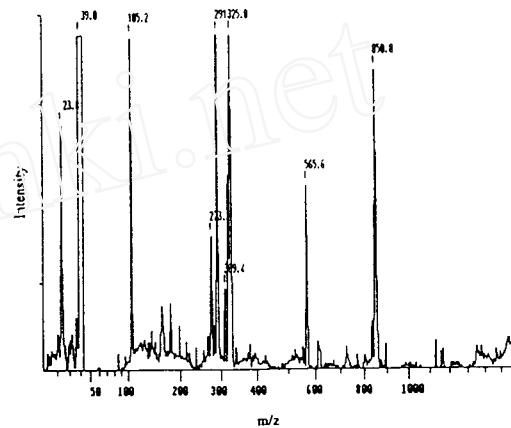


图3 10-deacetyl - taxol (F. W. = 811) 的激光质谱图 ( $1.0 \times 10^{-2}\text{ mol/L}$ )

化合物II在浓度 $1.0 \times 10^{-3}\text{ mol/L}$ 时,其分子的 $[\text{M} + \text{Na}]^+$ 和 $[\text{M} + \text{K}]^+$ 加成离子峰很弱。若把此化合物的浓度增大10倍即 $1.0 \times 10^{-2}\text{ mol/L}$ 时,其 $[\text{M} + \text{Na}]^+$ 和 $[\text{M} + \text{K}]^+$ 的加成离子峰迅速增强。比较化合物I和II的质谱行为,化合物II要求较高的测定浓度,这可能是化合物I和II的10位取代基不同所致,前者为 $-\text{OAc}$ ,而后者为 $-\text{OH}$ ,不同取代基对二者极性和紫外吸收都有不同影响,从而影响其质谱行为。在相似的实验条件下,以对-硝基苯胺为固相基体测定化合物II,我们也发现类似的结果。

图4和图5分别为化合物III(1-Hydroxy-baccatin I, F. W. = 652)和IV(Taxayuntin F, F. W. = 630)的激光质谱图。

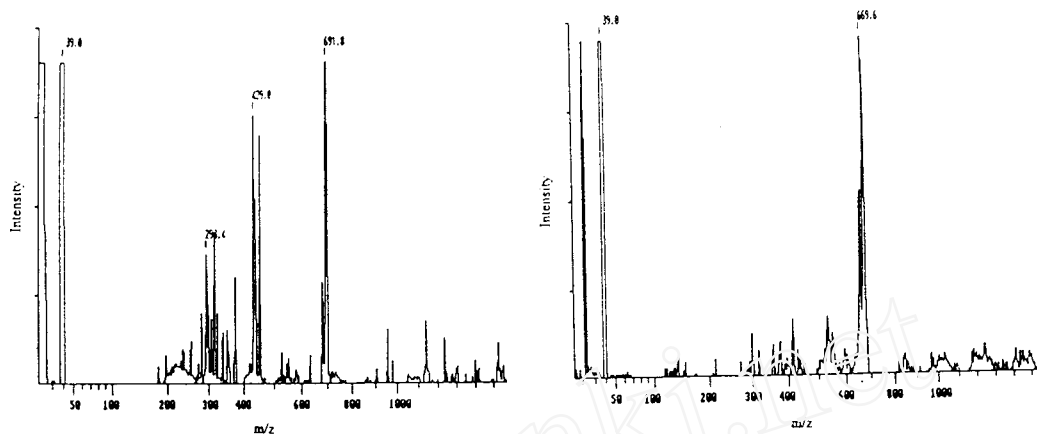


图 4 1-Hydroxy-baccatin I (F. W. = 652) 的激光质谱图 ( $1.0 \times 10^{-3}$  mol/L)

图 5 Taxayuntin F (F. W. = 630) 的激光质谱图 ( $1.0 \times 10^{-3}$  mol/L)

综合以上的紫杉烷类化合物的激光质谱行为, 其结果如表 1 所示。

表 1 以 NPOE 为液相基体 MALDI-MS 法测定紫杉烷类化合物结果比较

Analyte	m/z	Assignment
I $C_{47}H_{51}NO_{14}$	892	$[M+K]^+$
Taxol (F. W. = 853)	876	$[M+Na]^+$
	427	$[M-R_2-BzH-2H_2O]^+$
	341	$[M-R_2-BzH-AcOH-AcH-H_2O]^+$
	286	$[R_2+2H]^+$
	268	$[R_2-O]^+$
	210	$[R_2-O-CO-HCOH]^+$
II $C_{45}H_{49}NO_{13}$	850	$[M+K]^+$
Deacetyl-taxol	834	$[M+Na]^+$

(F. W. = 811)	565	$[M + K - R_2]^+$
	325	$[M - R_2 - BzH - AcOH - 2H_2O]^+$
	309	$[M - R_2 - BzOH - AcOH - 2H_2O]^+$
	291	$[M - R_2 - BzOH - AcOH - 3H_2O]^+$
	273	$[M - R_2 - BzOH - AcOH - 4H_2O]^+$
	105	$[Bz]^+$
III $C_{32}H_{44}O_{14}$	691	$[M + K]^+$
1-Hydroxy-baccatin I	675	$[M + Na]^+$
(F. W. = 652)	429	$[M + H - 3AcOH - AcH]^+$
	293	$[M + H - 6AcOH]^+$
IV $C_{33}H_{42}O_{12}$	669	$[M + K]^+$
Taxayuntin F	653	$[M + Na]^+$
(F. W. = 630)		

从表1发现,紫杉烷类化合物的激光质谱与一般 MALDI 法所产生谱图以 $[M + H]^+$ 为主不同,出现较强 $[M + Na]^+$ 和 $[M + K]^+$ 加成离子峰,这与多糖的激光质谱性质相似<sup>[4]</sup>;羟基(-OH)、乙酰氨基(-OAc)、乙酰基(-Ac)、苯酰氨基(-OBz)和苯酰基(-Bz)易于丢失;环状结构不易破裂。使用此液相基体,基体分子离子峰和碎片离子峰少,而应用固相基体对-硝基苯胺, $[M + H]^+$ 、 $[M + Na]^+$ 和 $[M + K]^+$ 离子峰较弱,并且可观察到大量的基体分子离子峰及其碎片离子峰<sup>[1]</sup>。

## 参 考 文 献

- Mary E Gimon, Gary R Kinsel, Ricky D Edmondson, David H Russell. Journal of Natural Products, 1994, 57: 1404~1410
- 赵善楷, 钟峰, 查庆民, 陈东. 分析化学, 1994, 22: 1079~1082
- Shankai Zhao, Kasi V Somayajula, Andrew G Sharkey and David M Hercules. Fresnus J Anal Chem, 1990, 338: 588~592
- K Olaf Bornse, Martin D Mohr, H Michael Widmer. Rapid commun mass spectrom, 1995, 9: 1031~1034

# The Measurement of Taxanes by the Method of Matrix-Assisted Laser Desorption/Ionization Mass Spectrometry Using Liquid Matrix

Li Jun, Shao Weiyang, Deng Huimin, Lai Zhihui, Zhao Shankai \*  
(Instrumental Analysis & Research Center, Zhongshan University,  
Guangzhou 510275, China)

Received 1998-08-09

## Abstract

By using MALDI-MS with 2-Nitrophenyl octyl ether (NPOE) as liquid matrix and fibrous paper as substrate, four taxane compounds were measured. The fragmentation of their MALDI mass spectra was discussed.

Key Words: MALDI-MS, 2-nitrophenyl octyl ether, taxane, fragmentation

\* To whom the respondent should be addressed.